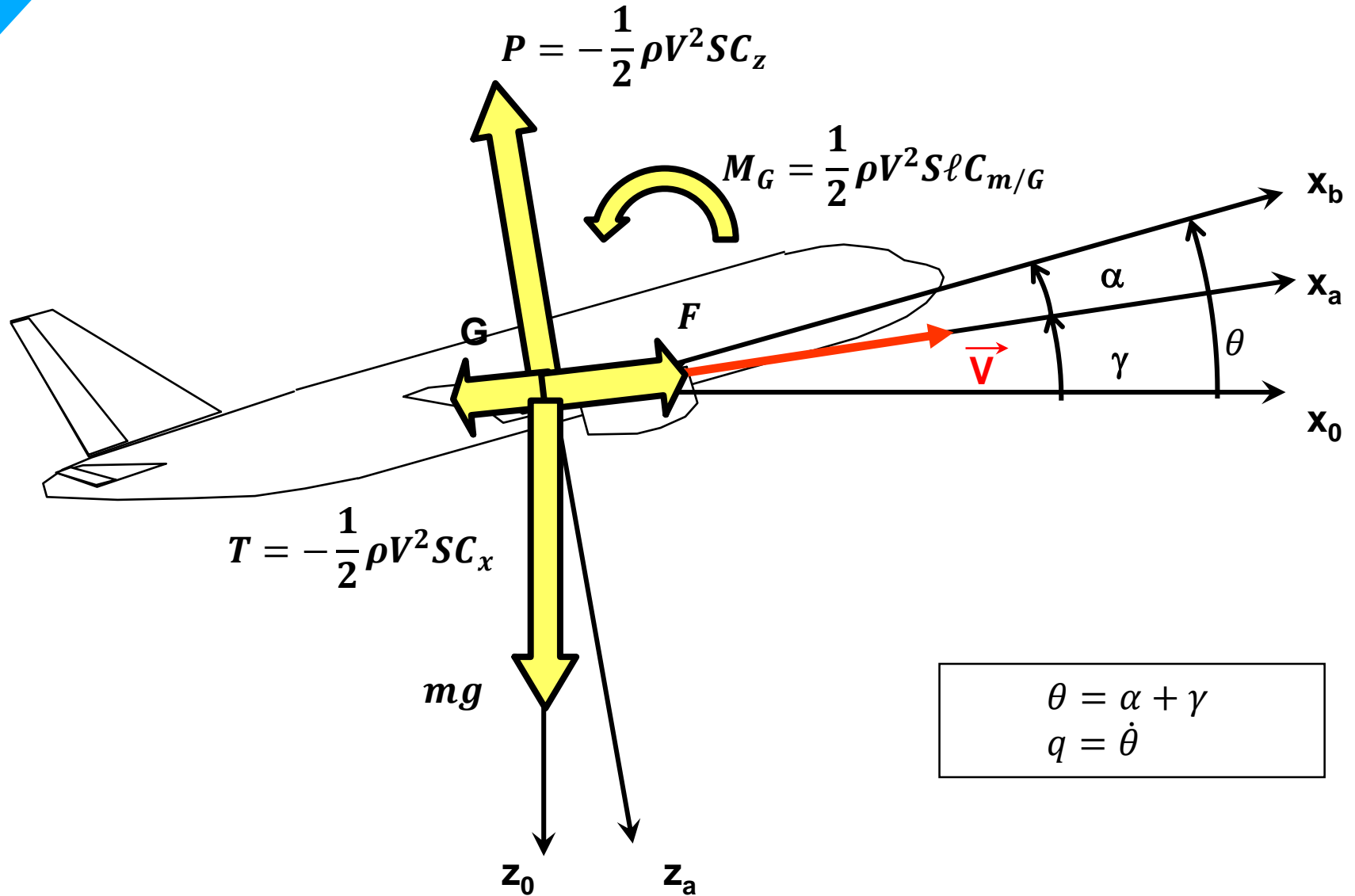


# Dynamique longitudinale

---

# Equations longitudinales



# Equations longitudinales

Equation de **propulsion** sur  $x_a$  :

$$m\dot{V} = -\frac{1}{2}\rho V^2 SCx + F - mg \sin \gamma$$

P

Equation de **sustentation** sur  $z_a$  :

$$-mV\dot{\gamma} = -\frac{1}{2}\rho V^2 SCz + mg \cos \gamma$$

S

Equation de **moment de tangage** sur  $y$  :

$$B\dot{q} = \frac{1}{2}\rho V^2 S\ell Cm_{/G} + M_{F/G}$$

M

**Equations cinématiques**

$$\dot{\alpha} = q - \dot{\gamma}$$

$$\dot{h} = V \sin \gamma$$

Cq

Ch

## Modèles :

Portance :  $C_z = C_{z_\alpha}(\alpha - \alpha_0) + C_{z_q} \frac{q\ell}{V} + C_{z_{\delta m}} \delta m$

Trainée :  $C_x = C_{x_0} + k_i C_z^2$

Poussée :  $F = k_f \rho V^{\lambda_f} \delta x$

Tangage :  $C_{m/G} = C_{m_0} + C_{m_\alpha}(\alpha - \alpha_0) + C_{m_q} \frac{q\ell}{V} + C_{m_{\delta m}} \delta m$

Atmosphère :  $\rho = \rho(h)$

## Variables d'état longitudinal:

$$X = [V \quad \gamma \quad \alpha \quad q \quad h]^T$$

$$U = [\delta x \quad \delta m]^T$$

- Les efforts de propulsion sont parallèles à la vitesse.
- Il n'y a pas de moment dû aux moteurs :  $M_{F/G} = 0$
- La pente  $\gamma$  est faible :  $\cos \gamma = 1$  et  $\sin \gamma = \gamma$
- Incidence  $\alpha$  faible

$$\dot{V} = -\frac{\rho V^2 S}{2m} Cx(\alpha, q, \delta m) + \frac{F(\delta x)}{m} - g \cdot \sin \gamma$$

$$\dot{\gamma} = \frac{\rho V S}{2m} Cz(\alpha, q, \delta m) - \frac{g}{V}$$

$$\dot{q} = \frac{\rho V^2 S \ell}{2B} Cm_{/G}(\alpha, q, \delta m)$$

$$\dot{\alpha} = q - \dot{\gamma}$$

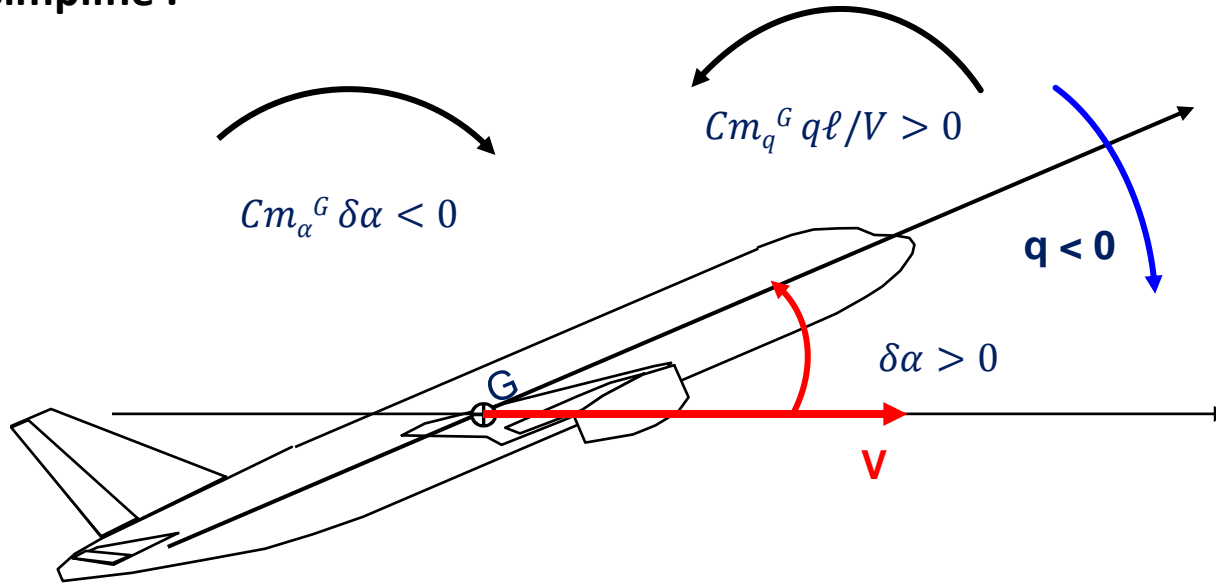
$$\dot{h} = V \cdot \gamma$$

# **Oscillation d'incidence**

# Oscillation d'incidence

On suppose que G n'a pas de mouvement verticalement

- Modèle simplifié :



$$\dot{q} = \frac{1}{2B} \rho V^2 S \ell \left[ Cm_0 + Cm_\alpha^G (\alpha - \alpha_0) + Cm_q \frac{q\ell}{V} + Cm_{\delta m}^G \delta m \right]$$

$$\dot{\alpha} = q - \dot{\gamma} = q$$

# Oscillation d'incidence : Modèle simplifié

- $\dot{q} = \frac{1}{2B} \rho V^2 S \ell \left[ C m_\alpha^G (\alpha - \alpha_0) + C m_q \frac{q \ell}{V} + C m_{\delta m}^G \delta m \right]$

- $\dot{\alpha} = q$

- $\delta \alpha = \alpha - \alpha_e$

- $\delta q = q - q_e = q$

- $\delta \ddot{\alpha} = m_\alpha \delta \alpha + m_q \delta \dot{\alpha}$



$$m_\alpha = \frac{\rho V^2 S \ell}{2B} C m_\alpha$$

$$m_q = \frac{\rho V S \ell^2}{2B} C m_q$$

- $s^2 - m_q s - m_\alpha = 0$

- Equation caractéristique d'un oscillateur amorti



# Oscillation d'incidence : Modèle simplifié

- Equation caractéristique d'un oscillateur amorti:

- $s^2 + 2\lambda s + \omega_0^2 = 0$

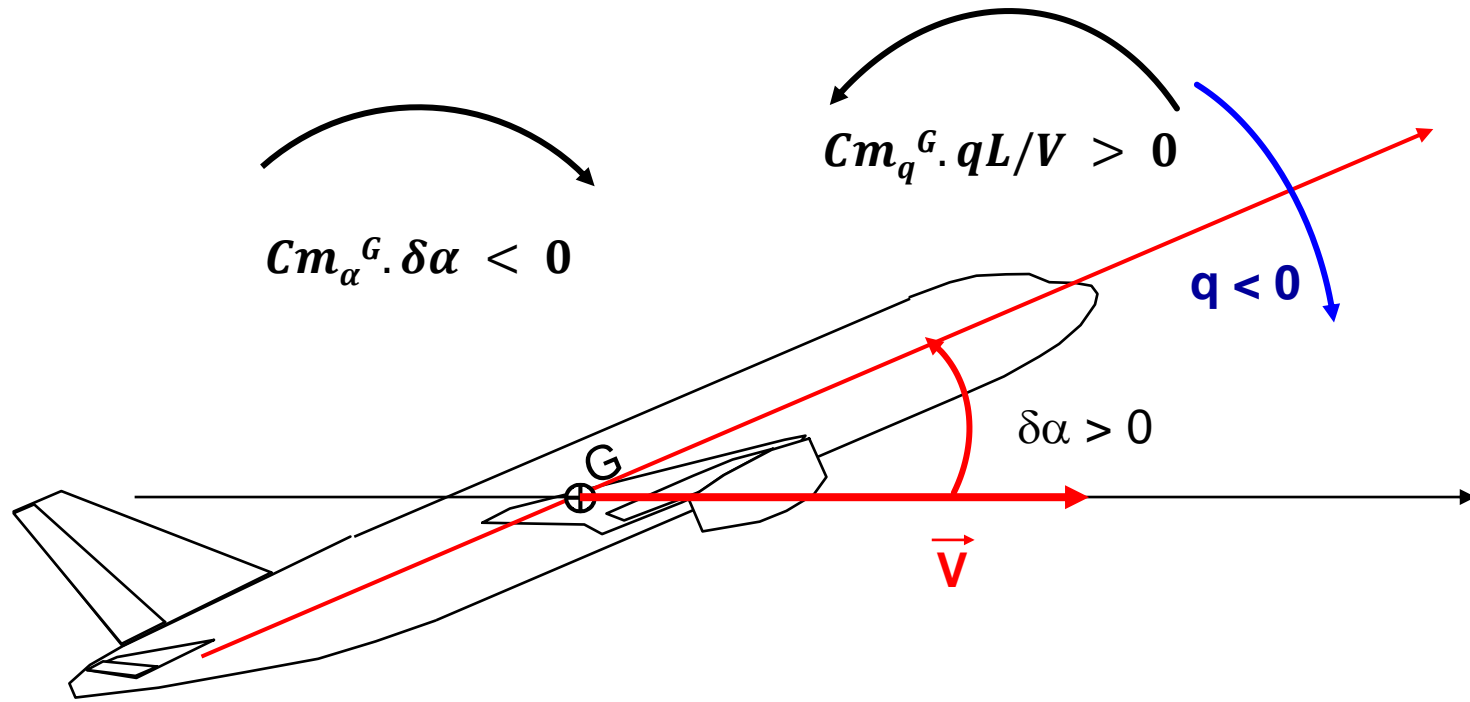
- $s/\bar{s} = -\lambda \pm i\sqrt{\omega_0^2 - \lambda^2} = -\lambda \pm i\omega_n$

- Avec

- $\lambda = -\frac{m_q}{2}$

- $\omega_0^2 = -m_\alpha$

# Oscillation d'incidence : Modèle simplifié



$$\ddot{\delta\alpha} - m_q \dot{\delta\alpha} - m_\alpha \delta\alpha = 0$$

$$s^2 - m_q s - m_\alpha = 0$$

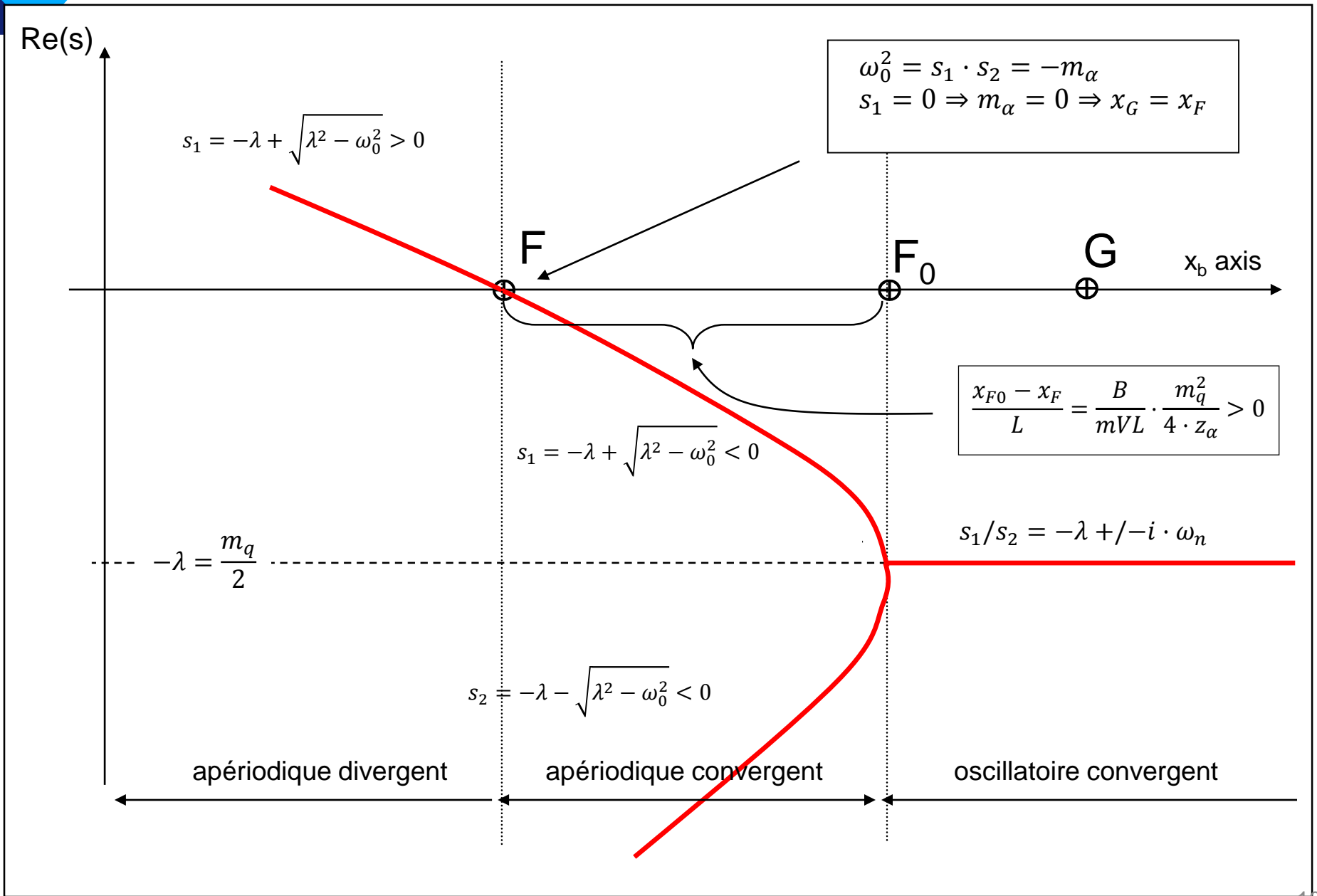
$$\rightarrow s^2 + 2\lambda s + \omega_0^2 = 0$$

$$s/\bar{s} = -\lambda \pm i\sqrt{\omega_0^2 - \lambda^2} = -\lambda \pm i\omega_n$$

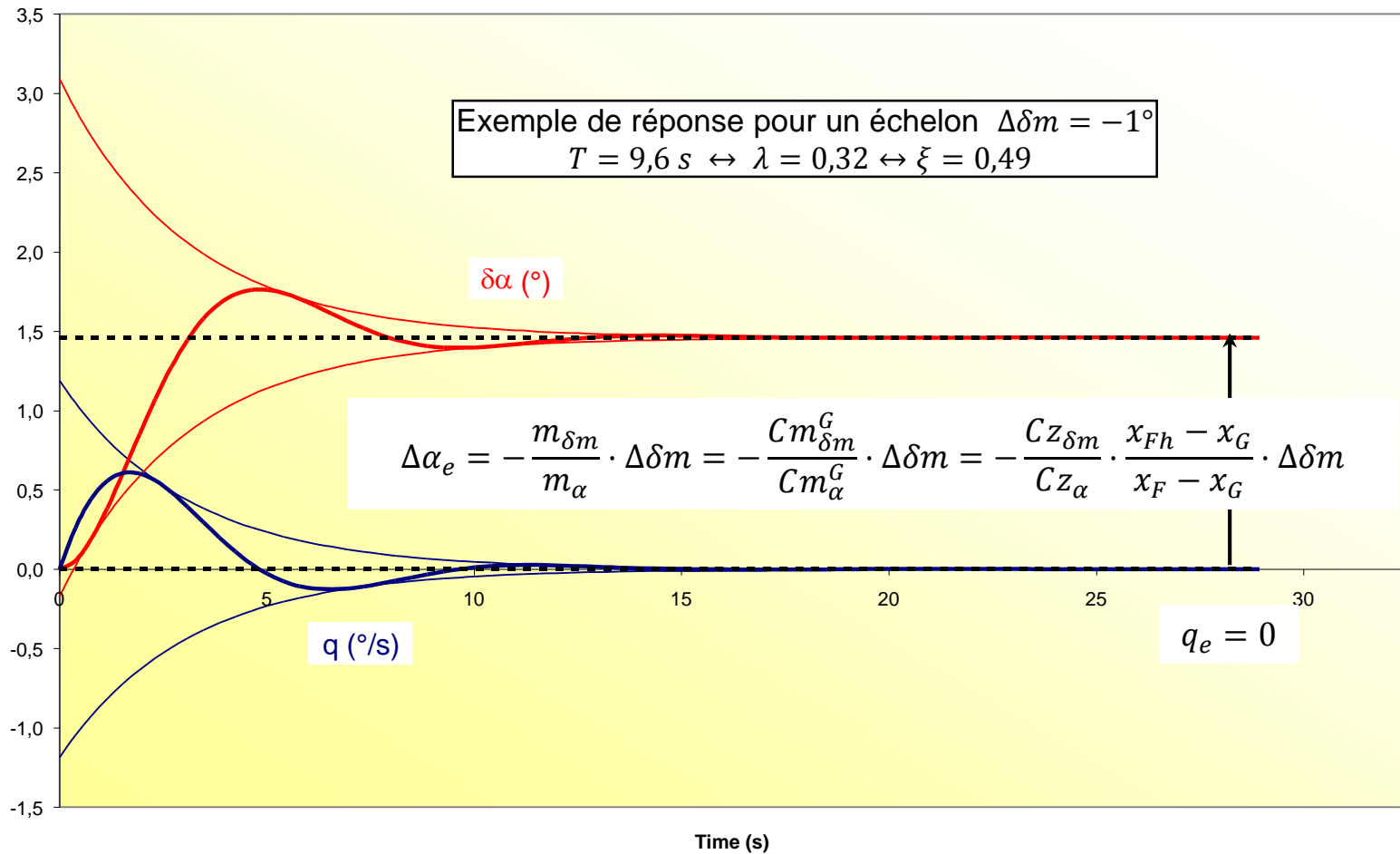
$$\lambda = -\frac{m_q}{2}$$

$$\omega_0^2 = -m_\alpha$$

# Oscillation d'incidence : approche simplifiée



# Oscillation d'incidence : approche simplifiée



- **Etude de la dynamique : Hypothèse de linéarisation**

- On suppose le vol symétrique

- A partir d'un état d'équilibre pour de « faibles » angles et de petits mouvements

- Hypothèse de découplage des modes longitudinal et latéral

- $\Rightarrow$  5 Equations Longitudinales et 4 Latérales

- Linéarisation des équations autour d'un point d'équilibre

$$\dot{V} = -\frac{\rho V^2 S}{2m} Cx(\alpha, q, \delta m) + \frac{k_f \rho V^{\lambda f}}{m} \delta x - g \cdot \gamma$$

$$\dot{\gamma} = \frac{\rho V S}{2m} Cz(\alpha, q, \delta m) - \frac{g}{V}$$

$$\dot{q} = \frac{\rho V^2 S \ell}{2B} Cm_{/G}(\alpha, q, \delta m)$$

$$\dot{\alpha} = q - \dot{\gamma}$$

$$\dot{h} = V \cdot \gamma$$

$$\dot{X} = f(X, U)$$

Equilibre pour

$$\dot{X}_e = 0 = f(X_e, U_e)$$

Linéarisation :

$$\delta \dot{X} = \frac{\partial f}{\partial X}(X_e, U_e) \delta X + \frac{\partial f}{\partial U}(X_e, U_e) \delta U$$

avec

$$\delta X = X - X_e, \quad \delta U = U - U_e$$

$$\dot{X} = f(X, U) \Rightarrow \delta \dot{X} = A \delta X + B \delta U$$

$$\dot{X} = A X + B U$$

Solution de l'équation différentielle sans second membre

$$\dot{X} = A X \Rightarrow X = X_0 e^{st}$$

$$\begin{aligned} sX_0 e^{st} &= AX_0 e^{st} \Rightarrow [A - sI]X_0 e^{st} = 0 \\ &\Rightarrow [A - sI]X_0 = 0 \end{aligned}$$

Pour  $X_0 \neq 0$ , il y a une solution si :

$$\det[A - sI] = 0$$

(équation caractéristique)



# Etude de la dynamique

$$\det[A - sI] = 0$$

(s racine de l'équation, est une valeur propre de A)

Si s est réel :  $X = X_0 e^{st} \Rightarrow X = X_0 e^{-t/\tau}$

→ le mode est **apériodique**

$$s < 0 \quad \rightarrow \text{le mode est convergent} \quad \tau = -\frac{1}{s} > 0$$

$$s > 0 \quad \rightarrow \text{le mode est divergent} \quad \tau = -\frac{1}{s} < 0$$

Si s est complexe :  $s = -\lambda \pm i\omega \Rightarrow X = e^{-\lambda t} (K \cos \omega t + K' \sin \omega t)$

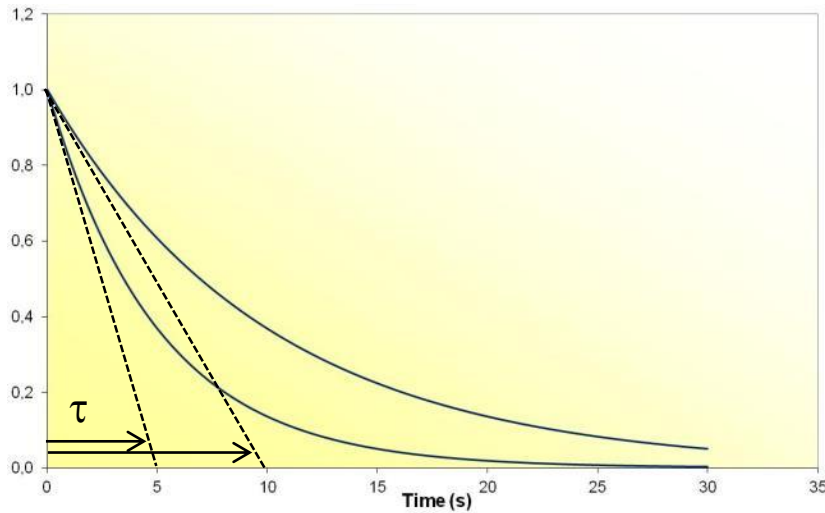
→ le mode est **oscillant** (périodique)

$$\operatorname{Re}(s) = -\lambda < 0 \quad \rightarrow \text{le mode est convergent} \quad \xi = \frac{\lambda}{\omega} > 0$$

$$\operatorname{Re}(s) = -\lambda > 0 \quad \rightarrow \text{le mode est divergent} \quad \xi = \frac{\lambda}{\omega} < 0$$

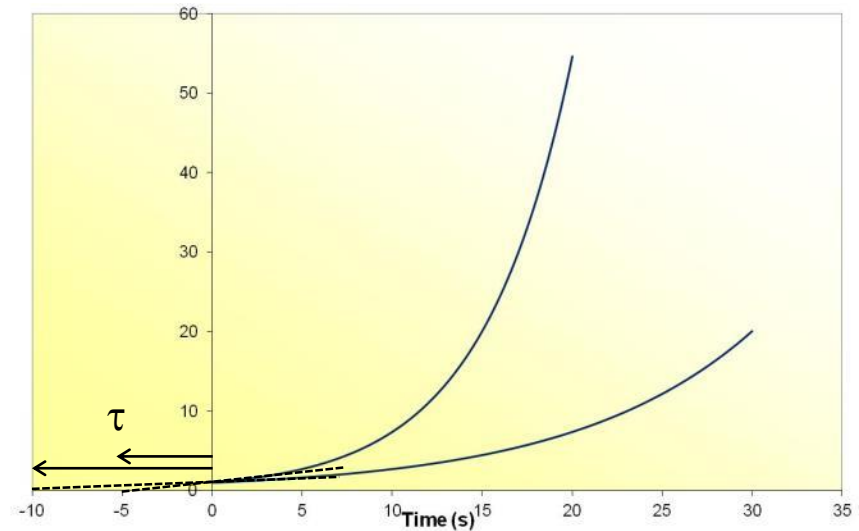
# Mode apériodique – 1ier ordre

$$\frac{dx}{dt} + \frac{x}{\tau} = 0 \Rightarrow s = -\frac{1}{\tau} \Rightarrow x = x_0 e^{st} = x_0 e^{-\frac{t}{\tau}}$$



←  $\tau$  positif : mode convergent

$\tau$  négatif : mode divergent

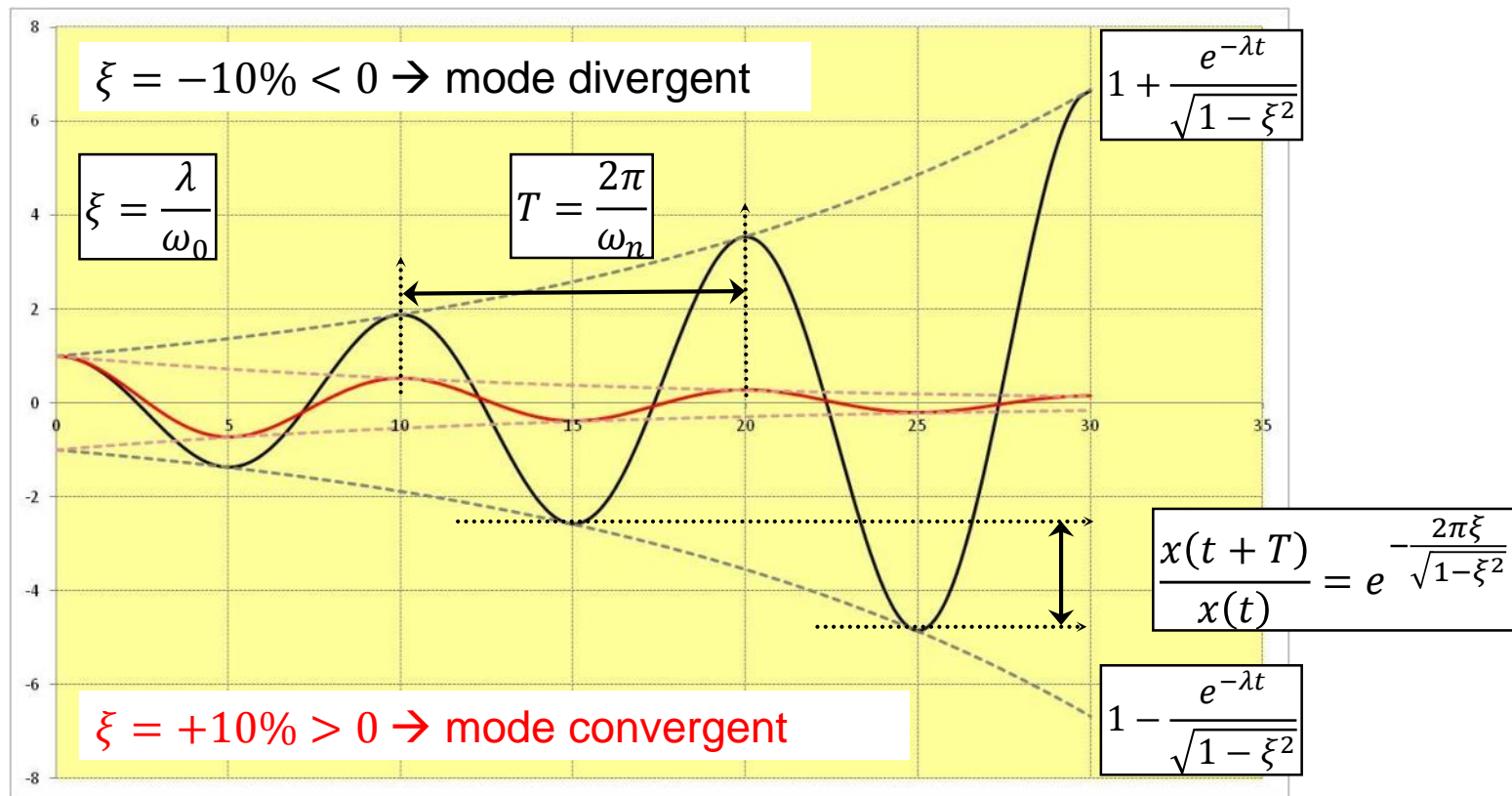


# Mode oscillatoire – 2nd ordre

$$\frac{d^2x}{dt^2} + 2\lambda \frac{dx}{dt} + \omega_0^2 x = 0 \Rightarrow s^2 + 2\lambda s + \omega_0^2 = 0$$

$$\Delta = \lambda^2 - \omega_0^2 < 0$$

$$\Rightarrow s/\bar{s} = -\lambda \pm i\sqrt{\omega_0^2 - \lambda^2} = -\lambda \pm i\omega_n \Rightarrow x = x_0 \frac{e^{-\lambda t}}{\sqrt{1 - \xi^2}} \sin(\omega_n t + \varphi)$$



# Mode oscillatoire – 2nd ordre

$$s^2 + 2\lambda s + \omega_0^2 = 0$$

Amortissement :  $\lambda$

Fréquence réelle ou fréquence propre :  $\omega_0$

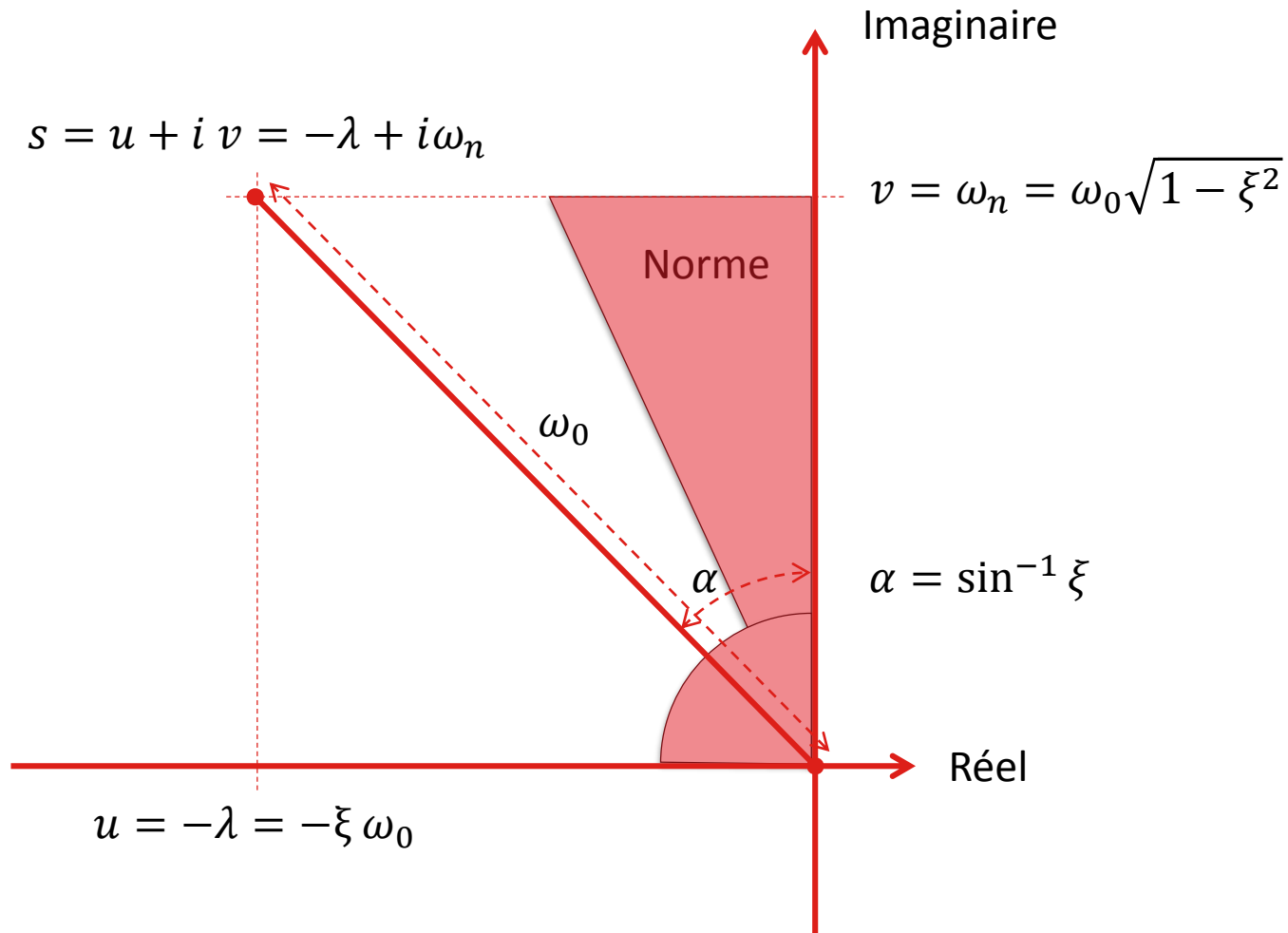
Amortissement réduit :  $\xi = \lambda/\omega_0$

Fréquence propre non amortie :  $\omega_n = \omega_0\sqrt{1 - \xi^2}$

Norme : Confort & Sécurité :

Fréquence :	$\omega_0 > 1 \text{ rad/s}$
Amortissement :	$\xi > 0,3$
Constante de temps :	$\tau_{min} < \tau < \tau_{max}$

# Mode oscillatoire – 2nd ordre



# Dynamique longitudinale

# Equations longitudinales

$$\dot{V} = -\frac{\rho V^2 S}{2m} Cx(\alpha, q, \delta m) + \frac{k_f \rho V^{\lambda_f}}{m} \delta x - g \sin \gamma$$

$$\dot{\gamma} = \frac{\rho V S}{2m} Cz(\alpha, q, \delta m) - \frac{g}{V}$$

$$\dot{q} = \frac{\rho V^2 S \ell}{2B} Cm_{/G}(\alpha, q, \delta m)$$

$$\dot{\alpha} = q - \dot{\gamma}$$

$$\dot{h} = V \sin \gamma$$

Pour un point d'équilibre  $(V_e, \gamma_e = 0, \alpha_e, q_e = 0, h_e)$

On pose :

$$\delta V = V - V_e$$

$$\delta \gamma = \gamma - \gamma_e = \gamma$$

$$\delta \alpha = \alpha - \alpha_e$$

$$\delta q = q - q_e = q$$

$$\delta h = h - h_e$$

$$\delta \delta x = \delta x - \delta x_e$$

$$\delta \delta m = \delta m - \delta m_e$$



Exemple de linéarisation (en supposant  $\rho$  constant) – équation de sustentation

$$\dot{\gamma} = \frac{\rho VS}{2m} C_z(\alpha, q, \delta m) - \frac{g}{V}$$

$$\begin{aligned}\delta \dot{\gamma} &= \delta \left[ \frac{\rho VS}{2m} C_z - \frac{g}{V} \right] \\ &= \frac{\rho S C_z}{2m} \delta V + \frac{\rho VS}{2m} \delta C_z + \frac{g}{V^2} \delta V = \left[ \frac{\rho S C_z}{2m} + \frac{g}{V^2} \right] \delta V + \frac{\rho VS}{2m} \delta C_z \\ &= \frac{2g}{V^2} \delta V + \frac{\rho VS}{2m} (C_{z_\alpha} \delta \alpha + C_{z_q} \frac{l}{V} \delta q + C_{z_{\delta m}} \delta \delta m)\end{aligned}$$

$$\delta \dot{\gamma} = \frac{2g}{V^2} \delta V + \frac{\rho V S C_{z_\alpha}}{2m} \delta \alpha + \frac{\rho S l C_{z_q}}{2m} \delta q + \frac{\rho V S C_{z_{\delta m}}}{2m} \delta \delta m$$

Equations d'état :

$$\dot{V} = -\frac{\rho V^2 S}{2m} (Cx_0 + k_i C z^2) + \frac{k_f \rho V^{\lambda_f}}{m} \delta x - g \cdot \gamma$$

$$\dot{\gamma} = \frac{\rho V S}{2m} C z - \frac{g}{V}$$

$$\dot{q} = \frac{\rho V^2 S \ell}{2B} C m_{/G}$$

$$\dot{\alpha} = q - \dot{\gamma}$$

$$\dot{h} = V \cdot \gamma$$



Forme d'état linéarisée

$$\begin{bmatrix} \delta \dot{V} \\ \delta \dot{\gamma} \\ \delta \dot{\alpha} \\ \delta \dot{q} \\ \delta \dot{h} \end{bmatrix} = \begin{bmatrix} x_V & x_\gamma & x_\alpha & x_q & 0 \\ z_V & 0 & z_\alpha & z_q & z_h \\ -z_V & 0 & -z_\alpha(1-z_q) & -z_h & \\ 0 & 0 & m_\alpha & m_q & 0 \\ 0 & V_e & 0 & 0 & 0 \end{bmatrix} \begin{bmatrix} \delta V \\ \delta \gamma \\ \delta \alpha \\ \delta q \\ \delta h \end{bmatrix} + \begin{bmatrix} x_{\delta x} & x_{\delta m} \\ 0 & z_{\delta m} \\ 0 & -z_{\delta m} \\ 0 & m_{\delta m} \\ 0 & 0 \end{bmatrix} \begin{bmatrix} \delta \delta x \\ \delta \delta m \end{bmatrix}$$

*Equation de propulsion ( $\delta\dot{V}$ )*

$$x_V = \frac{g(\lambda_f - 2)}{f_e}, \quad x_\gamma = -g, \quad x_\alpha = -2gk_i C z_\alpha, \quad x_q = -\frac{2g\ell k_i}{V_e} C z_q$$

$$x_{\delta x} = \frac{g}{f_e} \frac{1}{\delta x_e}, \quad x_{\delta m} = -2gk_i C z_{\delta m}$$

*Equation de sustentation ( $\delta\dot{\gamma}$ )*

$$z_V = \frac{2g}{V_e}, \quad z_\gamma = 0, \quad z_\alpha = \frac{\rho_e V_e S}{2m} C z_\alpha, \quad z_q = \frac{\rho_e S \ell}{2m} C z_q$$

$$z_{\delta x} = 0, \quad z_{\delta m} = \frac{\rho_e V_e S}{2m} C z_{\delta m}$$

*Equation de tangage ( $\delta\dot{q}$ )*

$$m_V = 0, \quad m_\gamma = 0, \quad m_\alpha = \frac{\rho_e V_e^2 S \ell}{2B} C m_\alpha, \quad m_q = \frac{\rho_e V_e S \ell^2}{2B} C m_q$$

$$m_{\delta x} = 0, \quad m_{\delta m} = \frac{\rho_e V_e^2 S \ell}{2B} C m_{\delta m}$$

# Exemple du DC8

## Douglas DC-8

<b>Constructeur</b>	Douglas Aircraft Company puis McDonnell Douglas
<b>Équipage</b>	3 (1 pilote, 1 copilote et 1 officier mécanicien navigant)
<b>Premier vol</b>	30 mai 1958
<b>Mise en service</b>	18 septembre 1959
<b>Retrait</b>	Retiré du service
<b>Premier client</b>	United Airlines et Delta Air Lines
<b>Production</b>	556

### Dimensions

<b>Longueur</b>	45,87 m
<b>Envergure</b>	43,41 m
<b>Hauteur</b>	13,21 m
<b>Aire alaire</b>	257,4 m <sup>2</sup>

### Masse et capacité d'emport

<b>Max. à vide</b>	54,88 t
<b>Max. au décollage</b>	140,6 t
<b>Passagers</b>	200

### Motorisation

<b>Moteurs</b>	4 turboréacteurs Pratt & Whitney JT3C-6 ou JT4A-9
<b>Poussée unitaire</b>	60,06 kN
<b>Poussée totale</b>	240,24 kN

### Performances

<b>Vitesse de croisière maximale</b>	940 km/h
<b>Vitesse maximale</b>	990 km/h
<b>Autonomie</b>	7 250 km
<b>Plafond</b>	9 150 m
<b>Charge alaire</b>	546,2 kg/m <sup>2</sup>
<b>Rapport poussée/poids</b>	0,217



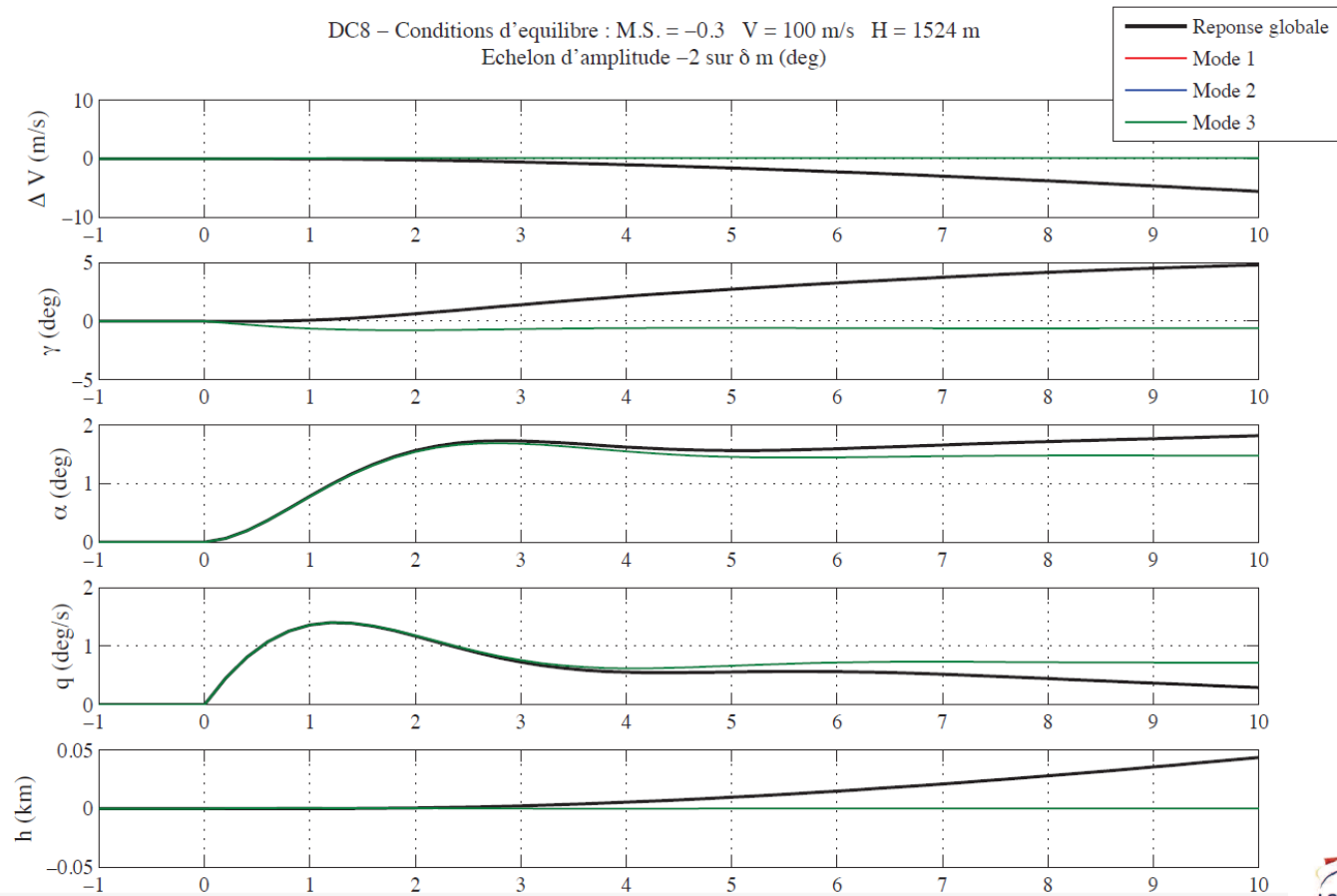
Avion « classique »

Condition de vol :

- Marge statique à -30%
- Altitude 1524 m = 5000 ft
- Vitesse 100 m/s = 194 kts  
(M = 0.3)

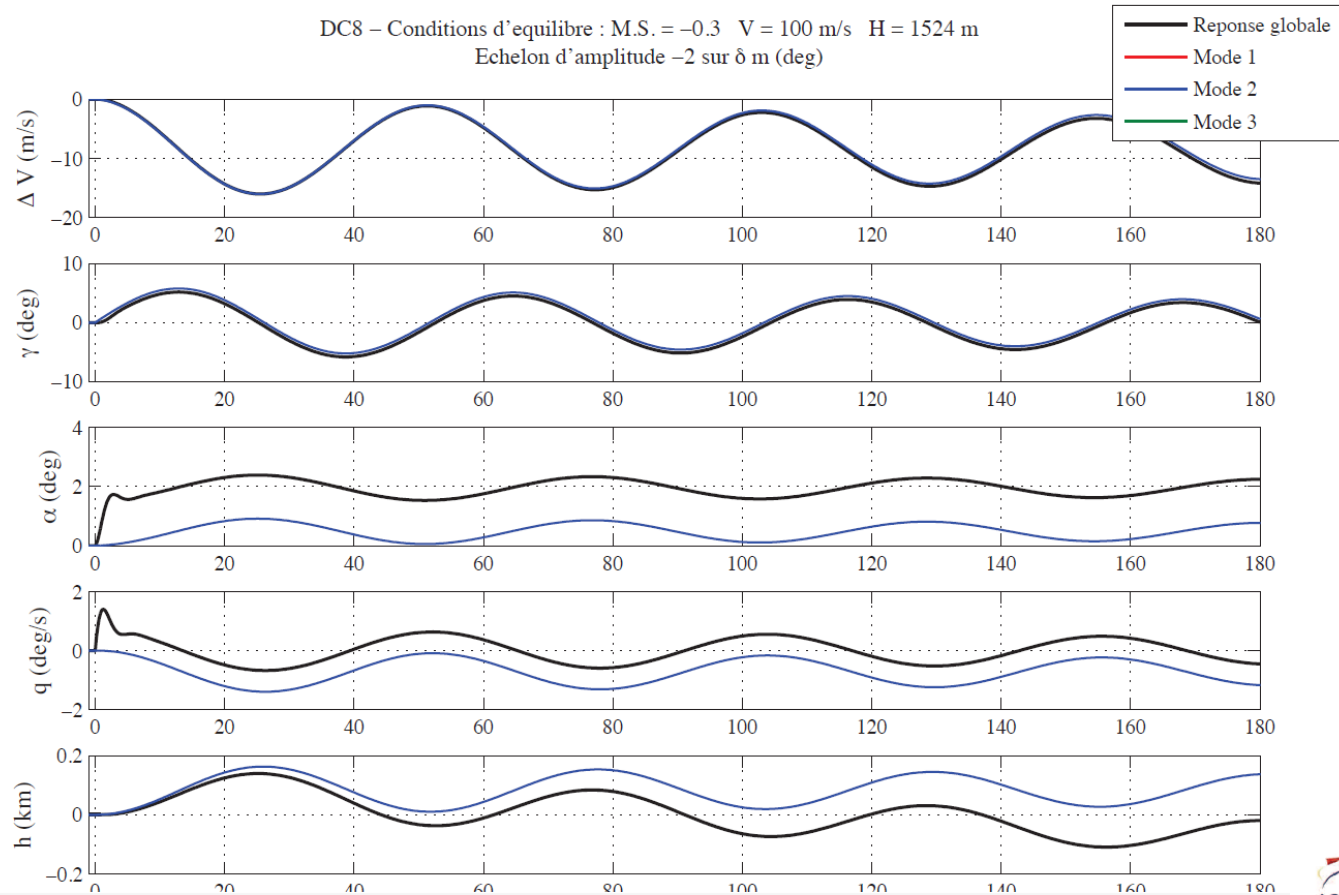
## Réponse de l'avion sur 10 sec.

DC8 – Conditions d'équilibre : M.S. = -0.3 V = 100 m/s H = 1524 m  
Echelon d'amplitude -2 sur  $\delta$  m (deg)

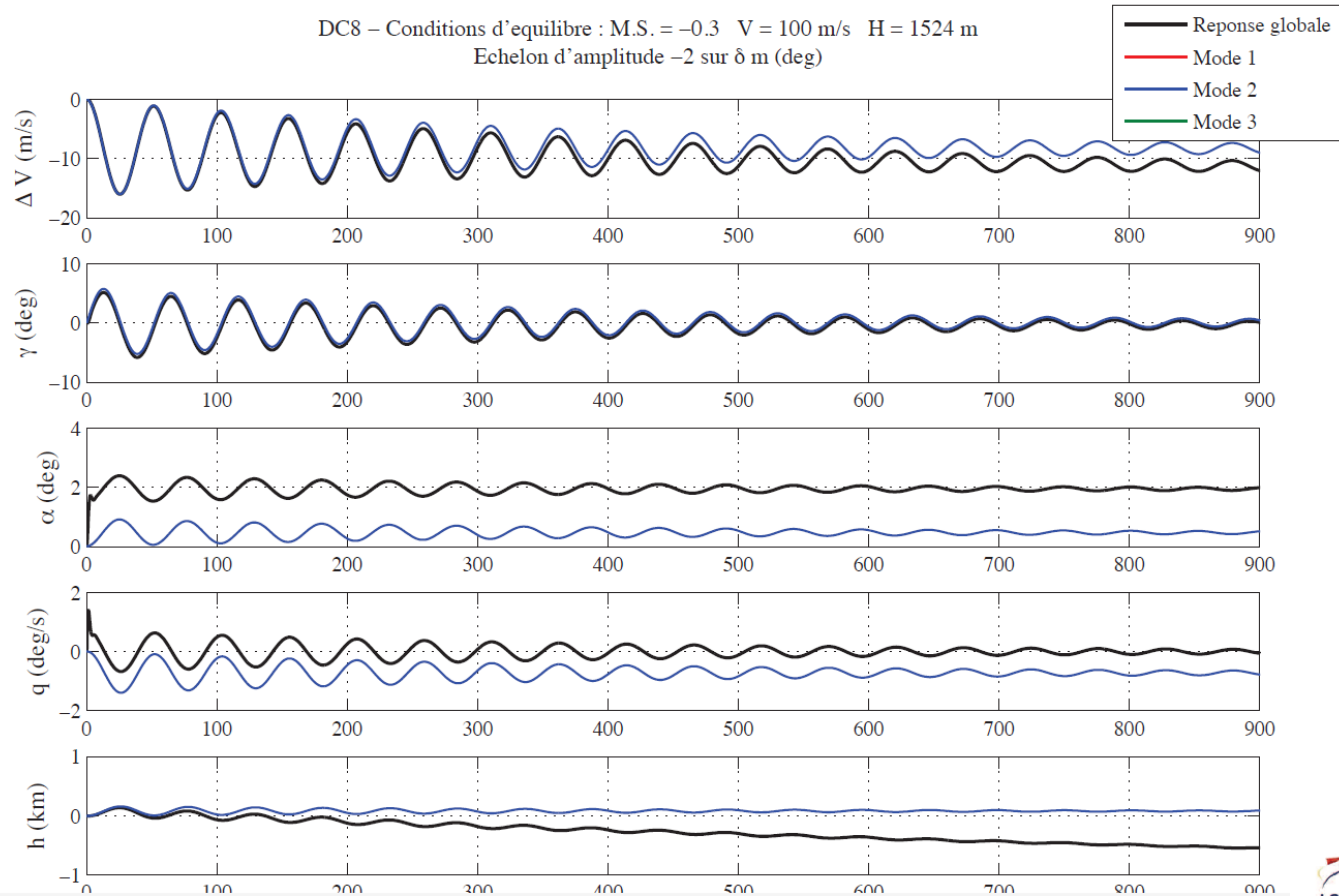


Dynamique du vol des avions – ISAE 2<sup>e</sup> année – 12 et 14 novembre 2014

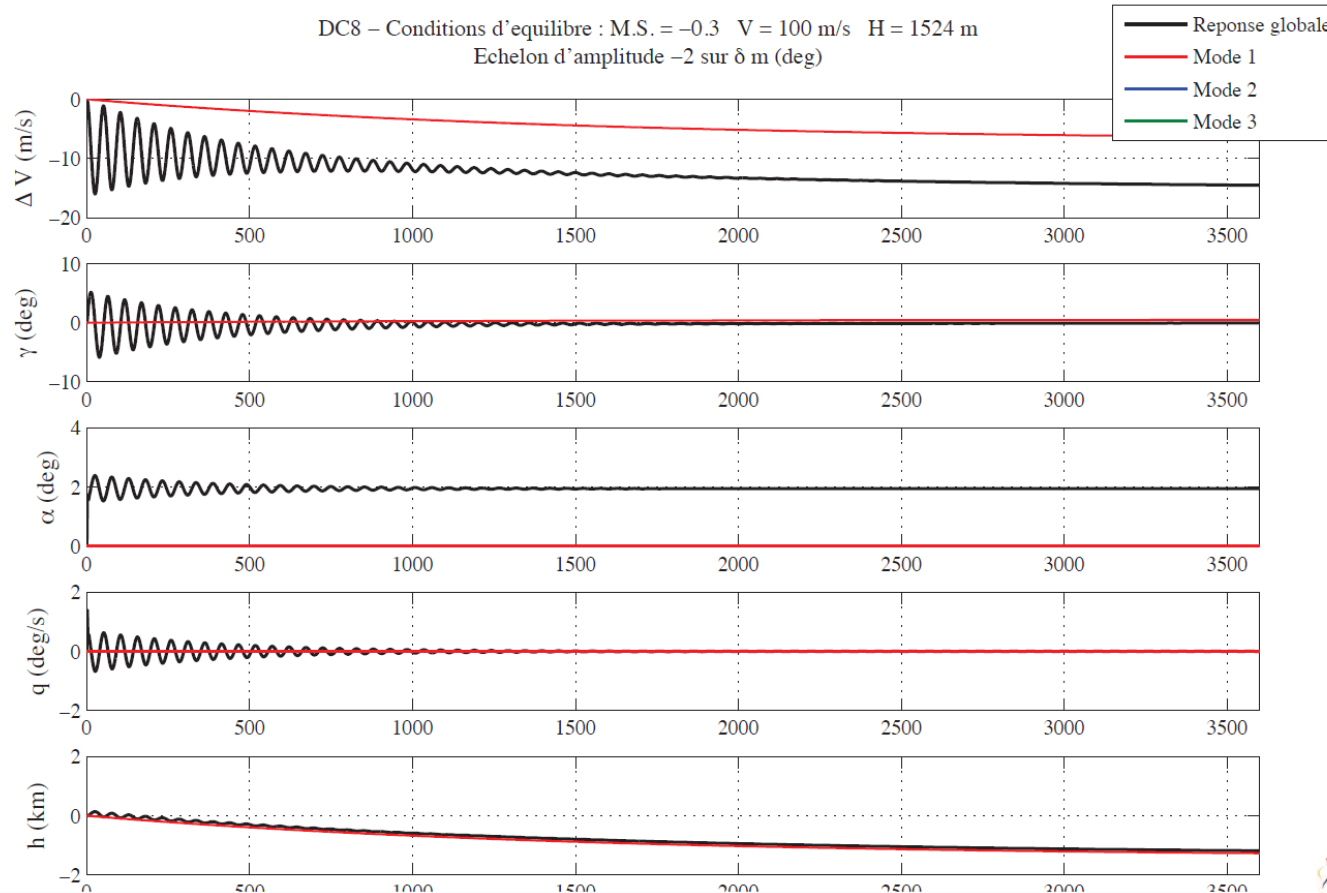
## Réponse de l'avion sur 3 min.



## Réponse de l'avion sur 15 min.



## Réponse de l'avion sur 1 heure





# Modes longitudinaux

$$\begin{bmatrix} \dot{\delta V} \\ \dot{\delta \gamma} \\ \dot{\delta \alpha} \\ \dot{\delta q} \\ \dot{\delta h} \end{bmatrix} = \begin{bmatrix} x_V & x_\gamma & x_\alpha & x_q & 0 \\ z_V & 0 & z_\alpha & z_q & z_h \\ -z_V & 0 & -z_\alpha(1 - z_q) & -z_h & \\ 0 & 0 & m_\alpha & m_q & 0 \\ 0 & V_e & 0 & 0 & 0 \end{bmatrix} \begin{bmatrix} \delta V \\ \delta \gamma \\ \delta \alpha \\ \delta q \\ \delta h \end{bmatrix} + \begin{bmatrix} x_{\delta x} & x_{\delta m} \\ 0 & z_{\delta m} \\ 0 & -z_{\delta m} \\ 0 & m_{\delta m} \\ 0 & 0 \end{bmatrix} \begin{bmatrix} \delta \delta x \\ \delta \delta m \end{bmatrix}$$

# Modes longitudinaux

Modes	Grandeurs associées	Type	Freq $f_n$ (Hz)	Amort. $\xi$	Constante de temps (s)
Oscillation d'Incidence	$\alpha, q$	Oscillant	0.208	0.52	1.46
Phugoïde	$V, \gamma$	Oscillant	0.019	0.02	400
Rappel de Propulsion	$h$	Apériodique			1511

$$\begin{bmatrix} \dot{\bar{V}} \\ \dot{\bar{\gamma}} \\ \dot{\bar{\alpha}} \\ \dot{\bar{q}} \\ \dot{\bar{h}} \end{bmatrix} = \begin{bmatrix} x_V & x_\gamma & x_\alpha & x_q & 0 \\ z_V & 0 & z_\alpha & z_q & z_h \\ -z_V & 0 & -z_\alpha(1-z_q) & -z_h & 0 \\ 0 & 0 & m_\alpha & m_q & 0 \\ 0 & V_e & 0 & 0 & 0 \end{bmatrix} \begin{bmatrix} \bar{V} \\ \bar{\gamma} \\ \bar{\alpha} \\ \bar{q} \\ \bar{h} \end{bmatrix} + \begin{bmatrix} x_{\delta x} & x_{\delta m} \\ 0 & z_{\delta m} \\ 0 & -z_{\delta m} \\ 0 & m_{\delta m} \\ 0 & 0 \end{bmatrix} \begin{bmatrix} \overline{\delta x} \\ \overline{\delta m} \end{bmatrix}$$

PH
OI
RP

# **Oscillation d'incidence : approche couplée**

# Oscillation d'incidence : approche couplée

On suppose que  $h$  ne varie pas et que  $V$  est constant :  $\delta V = 0$

$$\begin{bmatrix} \dot{\bar{\gamma}} \\ \dot{\bar{\alpha}} \\ \dot{q} \end{bmatrix} = \begin{bmatrix} 0 & z_\alpha & z_q \\ 0 & -z_\alpha & 1 - z_q \\ 0 & m_\alpha & m_q \end{bmatrix} \begin{bmatrix} \bar{\gamma} \\ \bar{\alpha} \\ q \end{bmatrix} + \begin{bmatrix} 0 & z_{\delta m} \\ 0 & -z_{\delta m} \\ 0 & m_{\delta m} \end{bmatrix} \begin{bmatrix} \overline{\delta x} \\ \overline{\delta m} \end{bmatrix}$$



$$\begin{bmatrix} \dot{\bar{\alpha}} \\ \dot{q} \end{bmatrix} = \begin{bmatrix} -z_\alpha & 1 - z_q \\ m_\alpha & m_q \end{bmatrix} \begin{bmatrix} \bar{\alpha} \\ q \end{bmatrix} + \begin{bmatrix} 0 & -z_{\delta m} \\ 0 & m_{\delta m} \end{bmatrix} \begin{bmatrix} \overline{\delta x} \\ \overline{\delta m} \end{bmatrix}$$

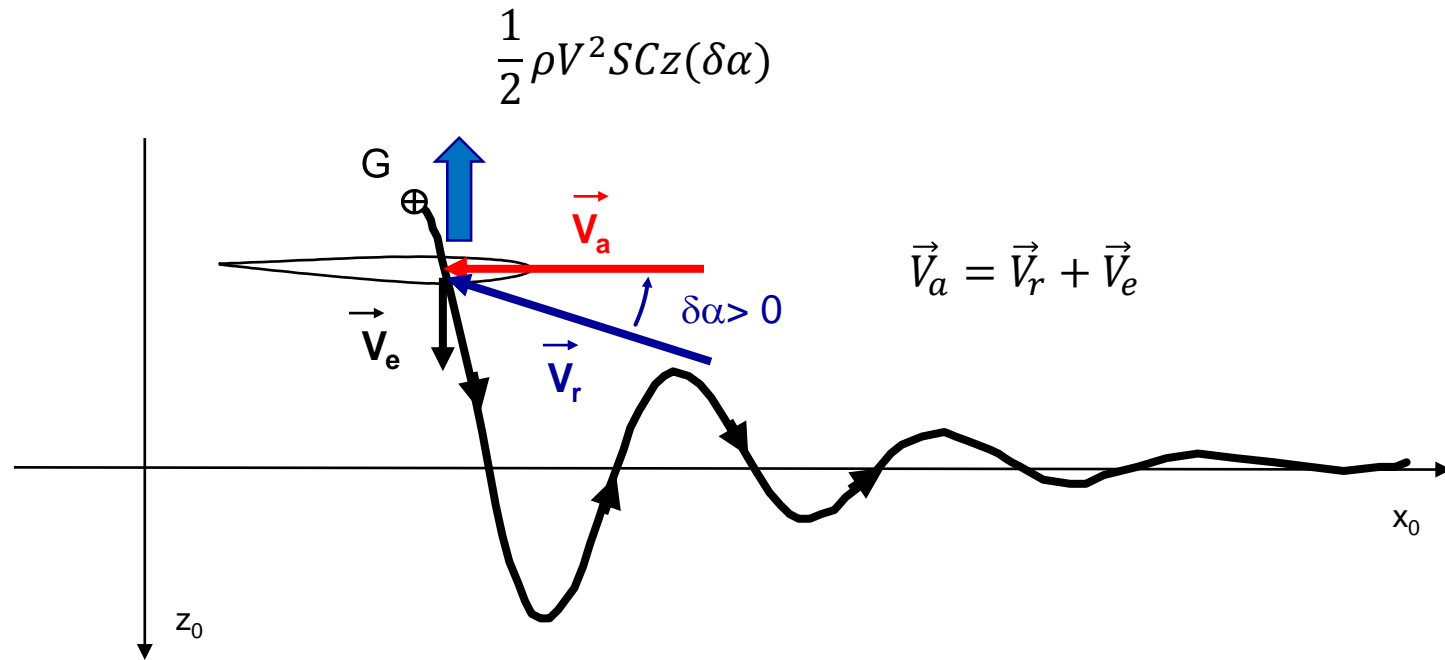
$$\rightarrow s^2 + 2\lambda s + \omega_0^2 = 0$$

$$s/\bar{s} = -\lambda \pm i\sqrt{\omega_0^2 - \lambda^2} = -\lambda \pm i\omega_n$$

$$\lambda = -\frac{m_q - z_\alpha}{2}$$

$$\omega_0^2 = -m_\alpha(1 - z_q) - m_q z_\alpha$$

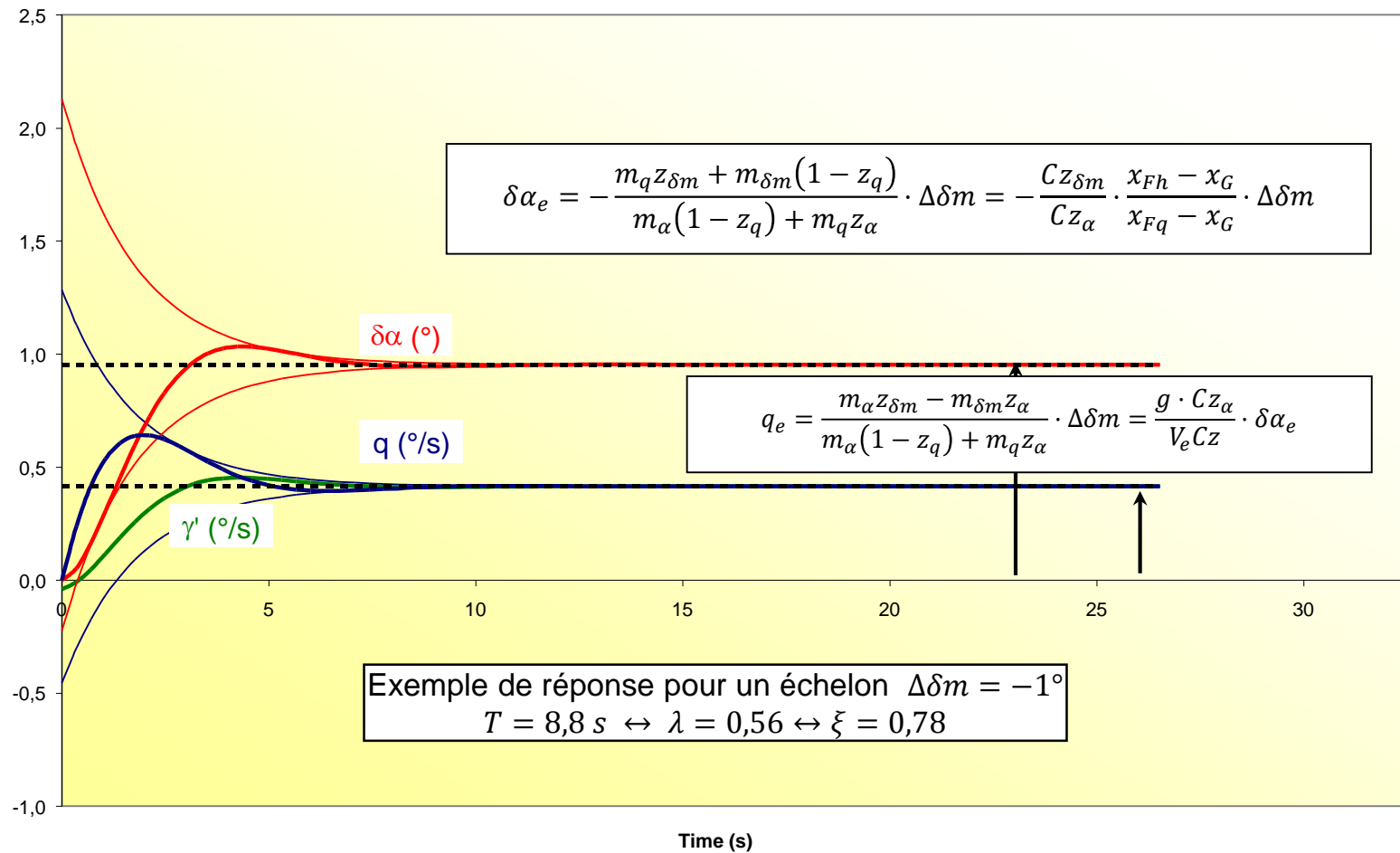
# Oscillation d'incidence : approche couplée



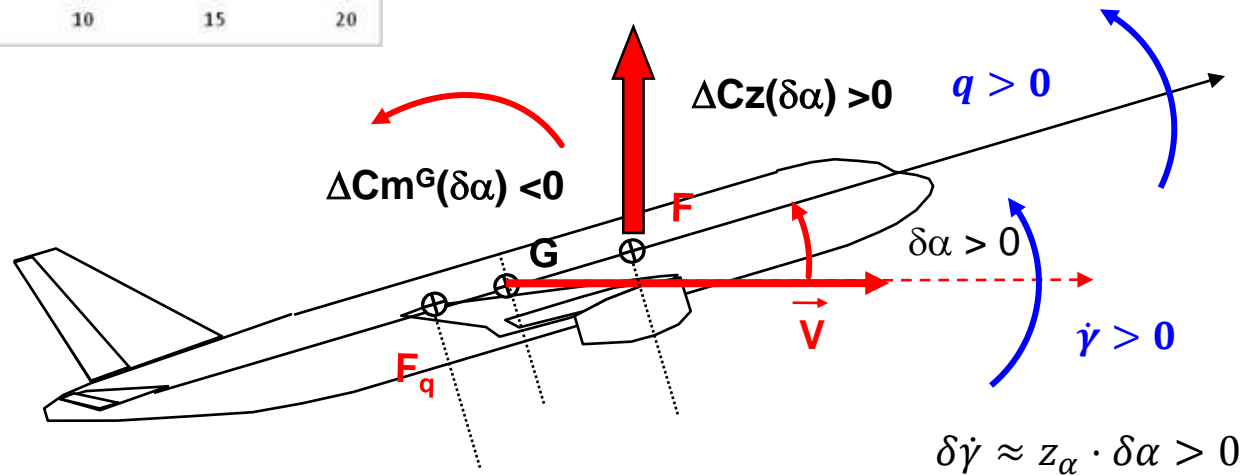
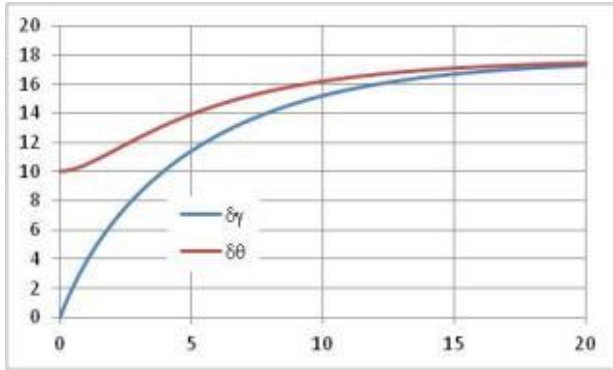
Le centre de gravité  $G$  est animé par un mouvement d'oscillation vertical du aux variation de portance.

L'aile voit une variation d'angle d'incidence ce qui produit une variation de portance opposé au mouvement de  $G$

# Oscillation d'incidence : approche couplée

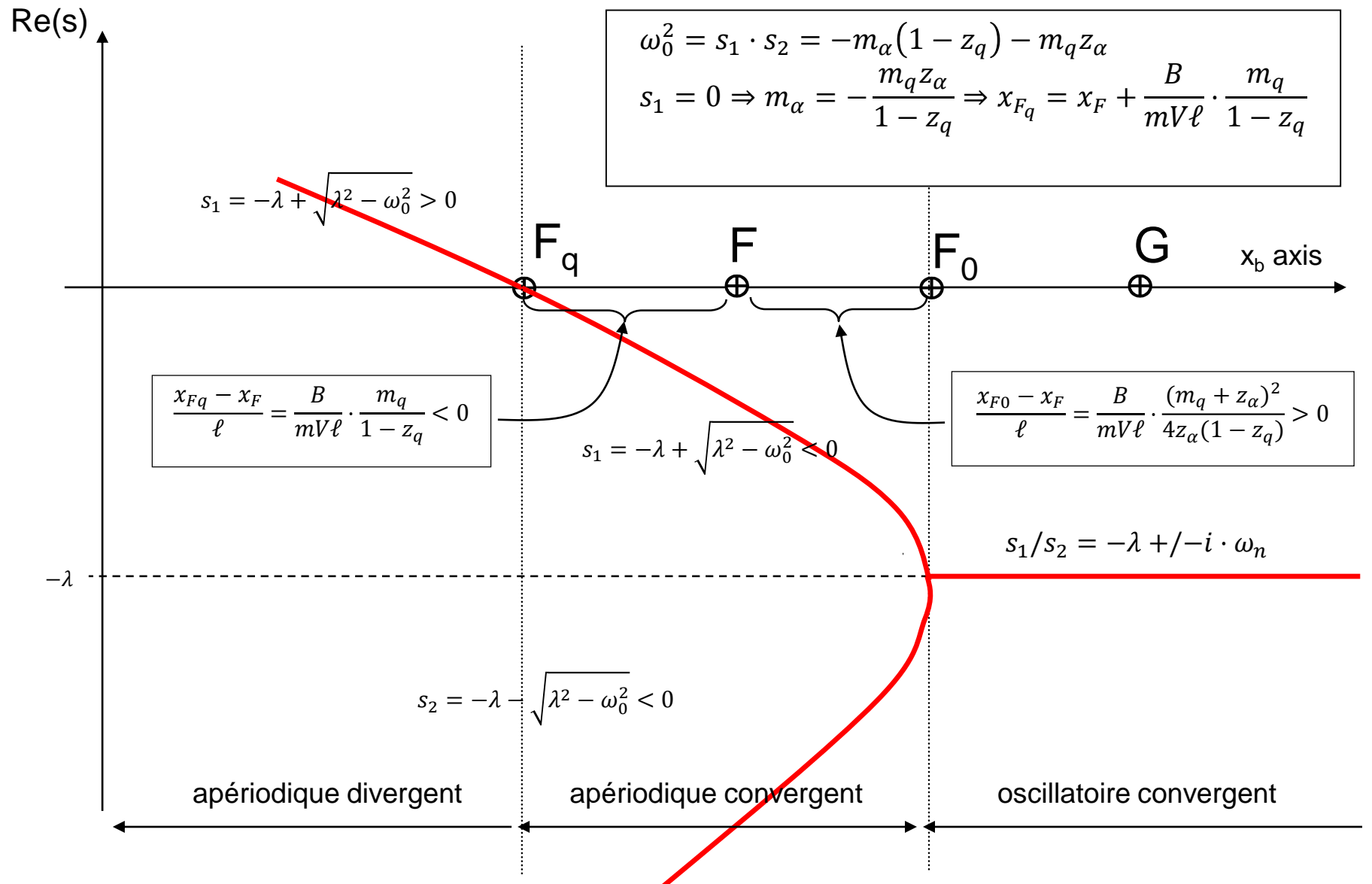


# Oscillation d'incidence : approche couplée



Bien que l'avion soit instable « statiquement », le vecteur vitesse change de direction de sorte que la variation d'incidence ( $\alpha = \theta - \gamma$ ) peut décroître

# Oscillation d'incidence : Point de Manœuvre





# Phugoïde

---

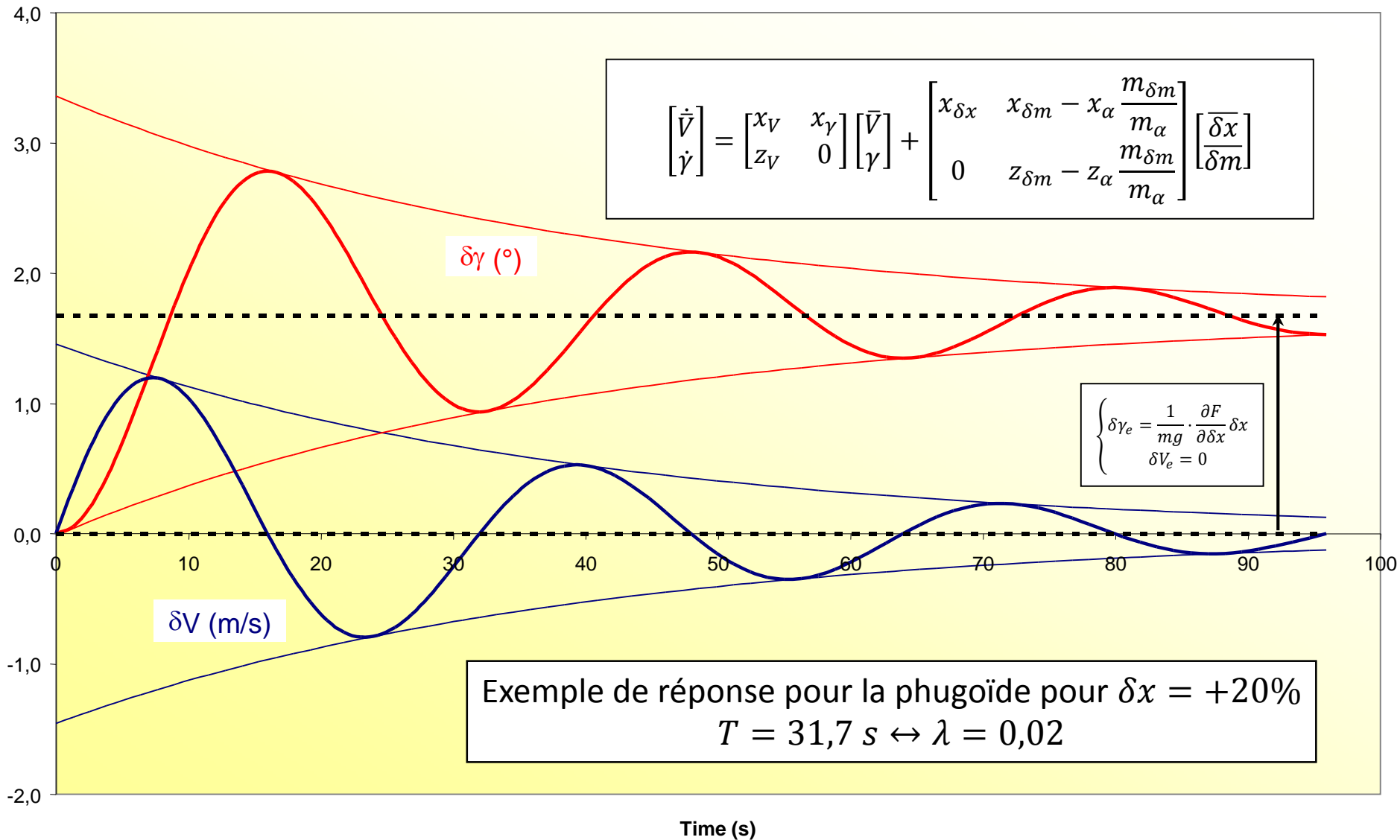
On suppose que :  $\alpha = \text{cst}$  et  $q = 0$   
(hypothèse de découplage)

$$\begin{bmatrix} \dot{\bar{V}} \\ \dot{\gamma} \\ 0 \\ 0 \end{bmatrix} = \begin{bmatrix} x_V & x_\gamma & x_\alpha & x_q \\ z_V & 0 & z_\alpha & z_q \\ 0 & 0 & 0 & 1 \\ 0 & 0 & m_\alpha & m_q \end{bmatrix} \begin{bmatrix} \bar{V} \\ \gamma \\ \bar{\alpha} \\ q \end{bmatrix} + \begin{bmatrix} x_{\delta x} & x_{\delta m} \\ 0 & z_{\delta m} \\ 0 & 0 \\ 0 & m_{\delta m} \end{bmatrix} \begin{bmatrix} \bar{\delta x} \\ \bar{\delta m} \end{bmatrix}$$



$$\begin{bmatrix} \dot{\bar{V}} \\ \dot{\gamma} \end{bmatrix} = \begin{bmatrix} x_V & x_\gamma \\ z_V & 0 \end{bmatrix} \begin{bmatrix} \bar{V} \\ \gamma \end{bmatrix} + \begin{bmatrix} x_{\delta x} & x_{\delta m} - x_\alpha \frac{m_{\delta m}}{m_\alpha} \\ 0 & z_{\delta m} - z_\alpha \frac{m_{\delta m}}{m_\alpha} \end{bmatrix} \begin{bmatrix} \bar{\delta x} \\ \bar{\delta m} \end{bmatrix}$$

# Phugoïde

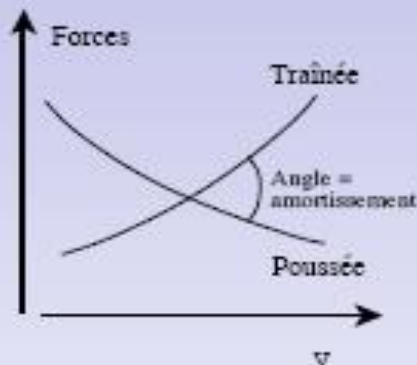


## Interprétation physique :

Equation de propulsion :  $m\dot{V} = F - T - mg \gamma$

Equation de sustentation :  $mV\dot{\gamma} = P - mg$

⇒ Linéarisation



Evolution du bilan propulsif avec la vitesse - amortissement de la phugoïde

$$m\dot{\bar{V}} = \frac{\partial(F-T)}{\partial V} \bar{V} - mg \gamma$$

$$mV\dot{\gamma} = \frac{2mg}{V} \bar{V}$$

$$\ddot{\bar{V}} - \frac{1}{m} \frac{\partial(F-T)}{\partial V} \dot{\bar{V}} + \frac{2g^2}{V^2} \bar{V} = 0$$

Matrice d'état :

$$A_{PH} = \begin{pmatrix} x_V & x_\gamma \\ z_V & 0 \end{pmatrix} \quad \text{avec} \quad \begin{cases} x_V = \frac{g(\lambda_f - 2)}{fV} & x_\gamma = -\frac{g}{V} \\ z_V = \frac{2g}{V} \end{cases}$$

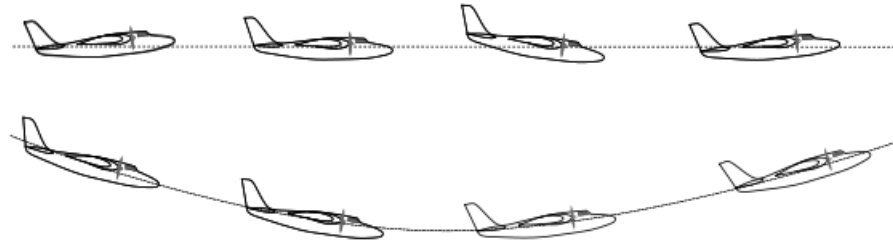
Fréquence propre & amortissement :

$$\lambda = -\frac{x_V}{2} = -\frac{1}{2m} \left( \frac{\partial F}{\partial V} - \rho V S C x \right) = \frac{2 - \lambda_f}{2f} \frac{g}{V}$$
$$\omega_0^2 = -z_V x_\gamma \Rightarrow \omega_0 = \sqrt{2} \frac{g}{V}$$

Soit :

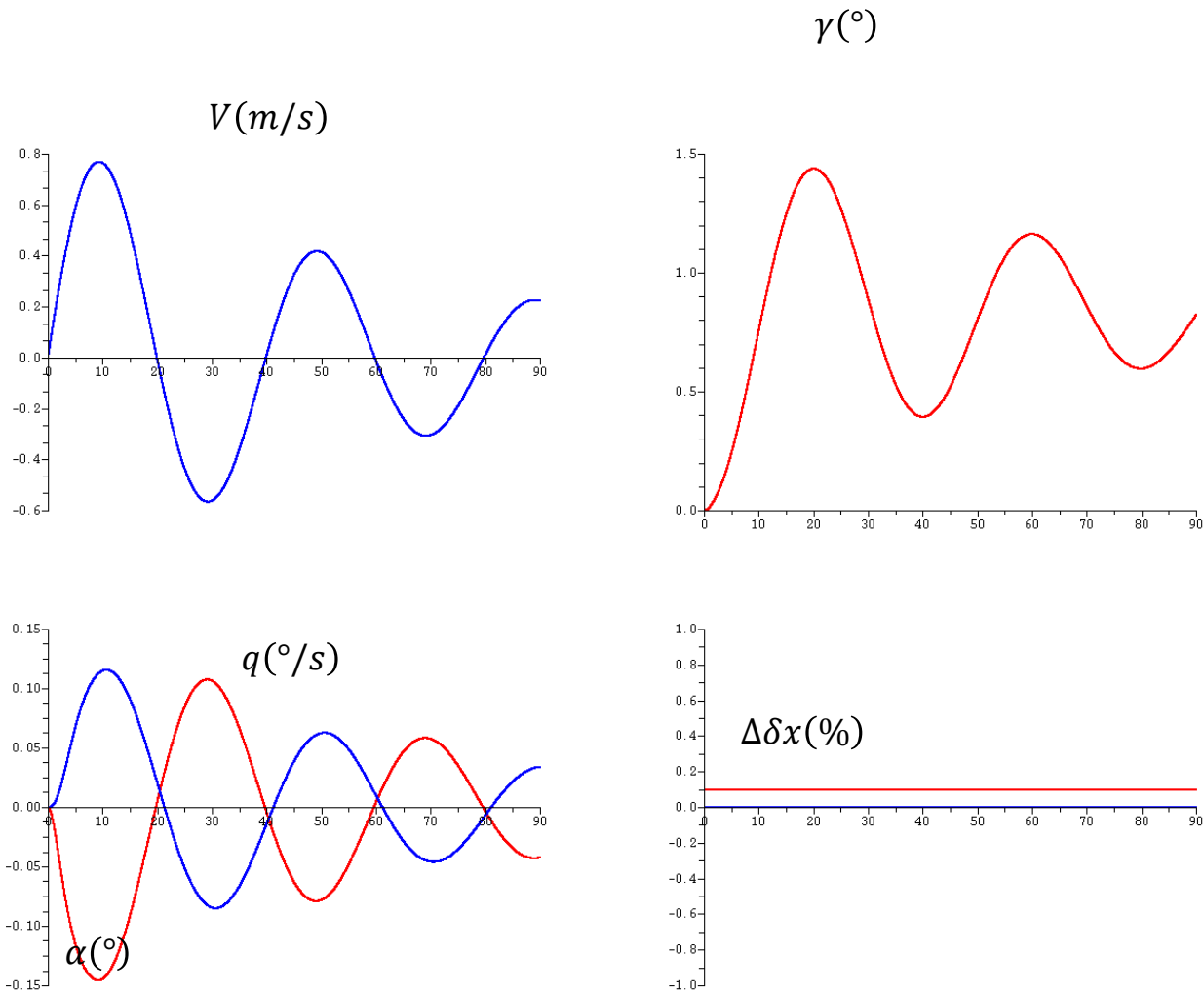
$$T = \frac{2\pi}{\omega_n} \approx \frac{2\pi}{\omega_0} \approx 0,45 V$$
$$\xi = \frac{2 - \lambda_f}{2\sqrt{2}f}$$

# Stabilité Longitudinale



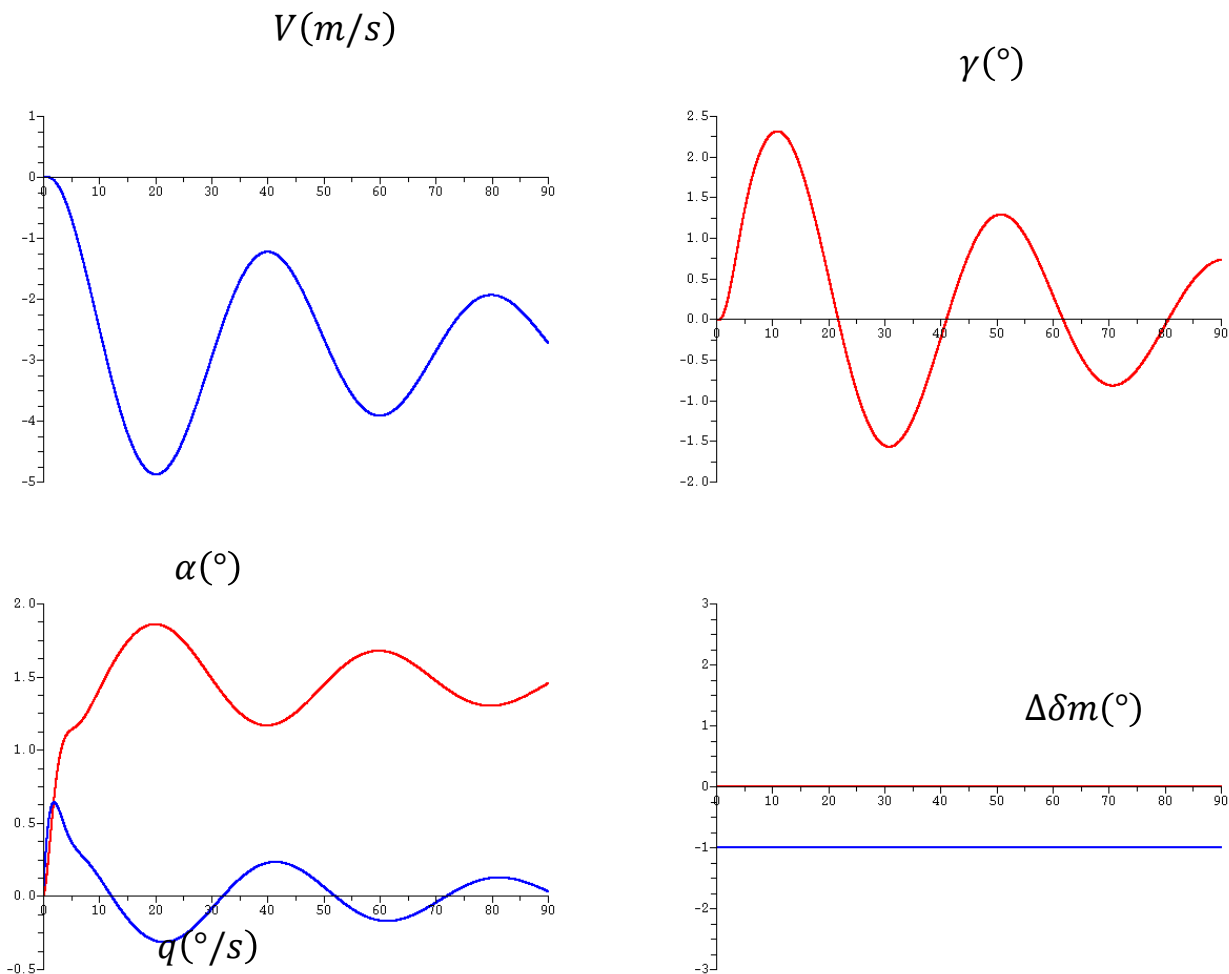
	Oscillation d'Incidence	Phugoïde
Variables	$(\alpha, q)$	$(V, \gamma)$
Période	Fonction de $Cm_\alpha$ « rapide » apériodique pour CG arrière	$T = 0.45 * V$ « lente » Toujours périodique
Amortissement	Fonction de $Cm_q$ & $Cz_\alpha$ Fortement amorti	Fonction de $Cx$ & $dF/dV$ Faiblement amorti

# Réponse à un échelon de commande des gaz : $\Delta\delta x$



Réponse de la pugoïde à un échelon  $\Delta\delta x$

# Réponse à un échelon de gouverne : $\Delta\delta m$



Oscillation d'incidence puis Phugôïde  
par une commande  $\delta m$



# **Rappel de propulsion**

Hypothèse de découplage :

Toutes les équations à l'équilibre sauf :  $\dot{h} = V \gamma$

⇒ Mouvement apériodique très lent qui ramène la pente à zéro.

$$\dot{h} = V \gamma \quad \text{à l'équilibre} \qquad \gamma = 0$$

Equation d'état

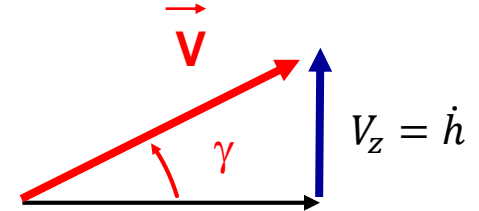
$$\begin{bmatrix} \dot{\bar{V}} \\ \dot{\gamma} \\ \dot{\bar{\alpha}} \\ \dot{q} \\ \dot{\bar{h}} \end{bmatrix} = \begin{bmatrix} x_V & x_\gamma & x_\alpha & x_q & x_h \\ z_V & 0 & z_\alpha & z_q & z_h \\ -z_V & 0 & -z_\alpha(1 - z_q) & -z_h & \\ 0 & 0 & m_\alpha & m_q & 0 \\ 0 & V_e & 0 & 0 & 0 \end{bmatrix} \begin{bmatrix} \bar{V} \\ \gamma \\ \bar{\alpha} \\ q \\ \bar{h} \end{bmatrix} + \begin{bmatrix} x_{\delta x} & x_{\delta m} \\ 0 & z_{\delta m} \\ 0 & -z_{\delta m} \\ 0 & m_{\delta m} \\ 0 & 0 \end{bmatrix} \begin{bmatrix} \bar{\delta x} \\ \bar{\delta m} \end{bmatrix}$$

# Rappel de propulsion

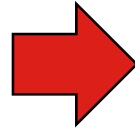
On suppose que  $V$  et  $\gamma$  ont atteint leur équilibre

$$\begin{cases} x_h = \frac{1}{m} \left( F_h - \frac{1}{2} V^2 SC_x \cdot \rho_h \right) \approx \frac{1}{m} \left( F_h - \frac{F}{\rho} \cdot \rho_h \right) \\ z_h = \frac{V SC_z}{2m} \cdot \rho_h = \frac{g}{\rho V} \cdot \rho_h \end{cases}$$

$$\begin{bmatrix} 0 \\ 0 \\ \dot{h} \end{bmatrix} = \begin{bmatrix} x_V & x_\gamma & x_h \\ z_V & 0 & z_h \\ 0 & V & 0 \end{bmatrix} \begin{bmatrix} \bar{V} \\ \bar{\gamma} \\ \bar{h} \end{bmatrix}$$

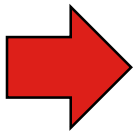


$$\delta X = \delta X_0 e^{st} \Rightarrow \begin{vmatrix} x_V & x_\gamma & x_h \\ z_V & 0 & z_h \\ 0 & V & -s \end{vmatrix} = 0$$



$$s = -V \cdot \frac{\begin{vmatrix} x_V & x_h \\ z_V & z_h \end{vmatrix}}{\begin{vmatrix} x_V & x_\gamma \\ z_V & 0 \end{vmatrix}} = \frac{V}{g} \cdot \left( x_h - z_h \frac{x_V}{z_V} \right) = \frac{V^2}{2mg} \cdot \left( \frac{2F_h}{V} - \frac{\rho_h F_V}{\rho} \right) < 0$$

$s$  est une valeur propre réelle  $\rightarrow$  mode apériodique ; convergent si  $\tau > 0$

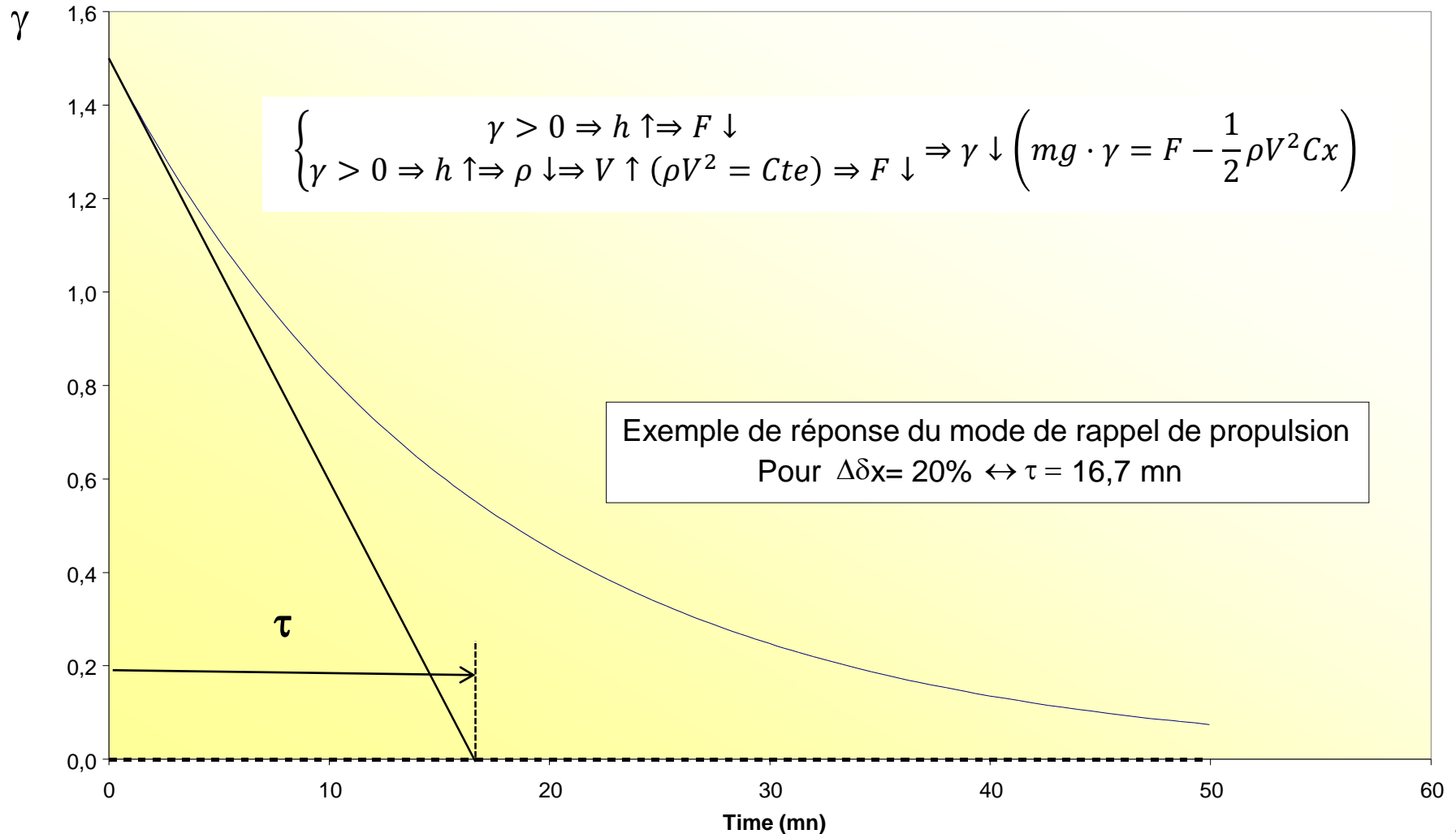


$$\frac{d\delta h}{dt} + \frac{\delta h}{\tau} = 0 \Leftrightarrow s + \frac{1}{\tau} = 0 \Leftrightarrow \delta h = \delta h_0 \cdot (1 - e^{st}) = \delta h_0 \cdot (1 - e^{-t/\tau})$$

$$\tau = -\frac{1}{s} = \frac{2mg}{V^2} \cdot \frac{\rho V}{\rho_h V \cdot F_V - 2\rho F_h} > 0$$

# Rappel de propulsion

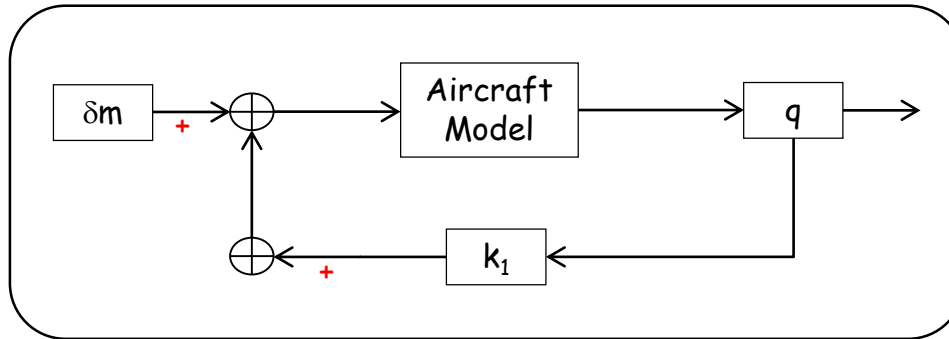
$$\dot{h} = V \cdot \gamma \Rightarrow \gamma = \frac{\dot{h}}{V} = \frac{\delta h_0}{V\tau} \cdot e^{-t/\tau} = \gamma_0 \cdot e^{-t/\tau}$$



# **Stabilité augmentée**

---

# Amortisseur de tangage



Amortisseur de tangage :  $k_1 > 0$

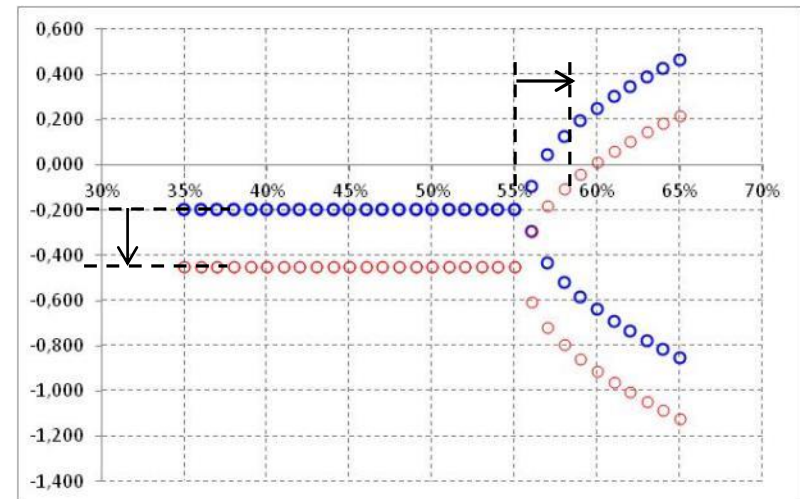
⇒  $m_q$  est augmenté de  $k_1 \cdot m_{\delta m}$

$$Cm = Cm_0 + Cm_\alpha \bar{\alpha} + Cm_q \frac{qL}{V} + Cm_{\delta m} [\delta m + k_1 q]$$

$$Cm = Cm_0 + Cm_\alpha \bar{\alpha} + \left[ Cm_q + k_1 Cm_{\delta m} \frac{V}{L} \right] \frac{qL}{V} + Cm_{\delta m} \delta m$$

⇒ Les oscillations d'incidence sont amorties

⇒ Le « point de manœuvre » est situé plus en arrière



Concorde :  $XF/L=56\%$  ;  $XFq/L= 56.6\% \rightarrow 59.8\%$  ( $k_1=1$ )